

一个干摩擦 Duffing 振子的滑动分岔分析*

秦志英 赵月静 彭伟

(河北科技大学机械电子工程学院, 石家庄 050018)

摘要 分析了一个干摩擦 Duffing 振子在不同参数下混沌和周期轨及不同周期轨之间的共存与转换. 干摩擦振子属于 Filippov 系统, 会发生特有的粘滞现象. 分析发现, 从穿越轨线转换到粘滞-滑移轨线不仅可经穿越滑动分岔和切换滑动分岔实现, 也可经两个相邻的穿越滑动分岔和多滑动分岔实现, 而从粘滞-滑移轨线转换到非穿越轨线须经擦边滑动分岔.

关键词 干摩擦, Filippov 系统, 粘滞-滑移轨线, 滑动分岔

引言

干摩擦振子一直是受到广泛研究的非线性模型, 其中粘滞现象是一种特有的典型现象, 在铰链、钻削、小提琴、建筑结构、太阳能帆板等各种工程系统中得到了广泛的研究. di Bernardo 等提出了滑动分岔的概念[2], Galvanetto 等把滑动分岔的概念与干摩擦振子的粘滞-滑移轨线联系起来[3]. Filippov 系统[1]是非光滑系统的一类, 滑动分岔则是该系统特有的一类分岔, 用于研究系统参数变化时粘滞-滑移轨线的转换过程. di Bernardo 根据边界与流之间的关系定义了四种滑动分岔[2][3].

本文第1部分首先简要介绍 Filippov 系统与粘滞-滑移轨线(stick-slip)和滑动分岔(sliding bifurcations)的概念和定义. 第2部分简要介绍一个皮带驱动引入干摩擦力的 Duffing 振子, 定义两种 Poincaré 映射. 第3部分则研究该振子不同运动状态之间的转换, 尤其是粘滞轨线与非粘滞轨线指将相互转换导致的滑动分岔. 所得结论总结在第4部分.

1 Filippov 系统的粘滞-滑移轨线和滑动分岔

一个 Filippov 系统的状态方程可写为

$$\dot{x} = \begin{cases} F_1(x) & H(x) > 0 \\ \text{co}\{F_1, F_2\} & H(x) = 0 \\ F_2(x) & H(x) < 0 \end{cases} \quad (1)$$

其中边界 $\Sigma := \{H(x) = 0\}$ 将系统状态空间划分为 $S_1 := \{H(x) > 0\}$ 和 $S_2 := \{H(x) < 0\}$ 两部分, 而边

界上向量场是边界两侧向量场的一个多值集合. 根据 Filippov 凸方法, 可写为

$$\overline{\text{co}}\{F_1, F_2\} = F_s = (1 - \alpha)F_1 + \alpha F_2 \quad (2)$$

其中 $0 \leq \alpha \leq 1$ 定义为

$$\alpha(x) = \frac{H_x F_1}{H_x(F_1 - F_2)} \quad (3)$$

根据 Utkin 等价控制法, 可表示为

$$\overline{\text{co}}\{F_1, F_2\} = F_s = \frac{F_1 + F_2}{2} + \beta \frac{F_2 - F_1}{2} \quad (4)$$

其中 $-1 \leq \beta \leq 1$ 定义为

$$\beta(x) = -\frac{H_x F_1 + H_x F_2}{H_x F_2 - H_x F_1} \quad (5)$$

这两种表示方法是代数等价的 $\beta = 2\alpha - 1$, 仅在某些特殊情况下有少许不同.

di Bernardo 主要基于第二种方法, $\dot{\Sigma} := \{x \in \Sigma; -1 \leq \beta \leq 1\}$ 将称为滑动区域(sliding region), 如图1灰色部分所示. 系统轨线一旦进入该区域将一直处于边界上, 一般文献中又称为粘滞状态(sticking); 其他部分称为滑移状态(slipping), 同时存在两种状态的轨线称为粘滞-滑移轨线(stick-slip). 针对不同类型轨线随系统参数变化而发生转换的过程, 如图1所示 di Bernardo 定义了四种分岔:

• 图1(a)定义 crossing-sliding bifurcation^[4], 我们称之为“穿越滑动分岔”, 又称“第I类滑动分岔”^{[2][4]};

• 图1(b)定义 grazing-sliding bifurcation^[4], 我们称之为“擦边滑动分岔”;

2010-12-21 收到第1稿, 2011-10-26 收到修改稿.

* 国家自然科学基金资助项目(11002046, 10972059), 河北省自然科学基金资助项目(A2011208007)

• 图 1 (c) 定义 switching - sliding bifurcation^[4],我们称之为“切换滑动分岔”,又称“第 II 类滑动分岔”^[2]^[4];

• 图 1 (d) 定义 adding - sliding bifurcation^[4](“加滑动分岔”),又定义 multi - sliding bifurcation^[2](“多滑动分岔”),本文我采用第二种定义.

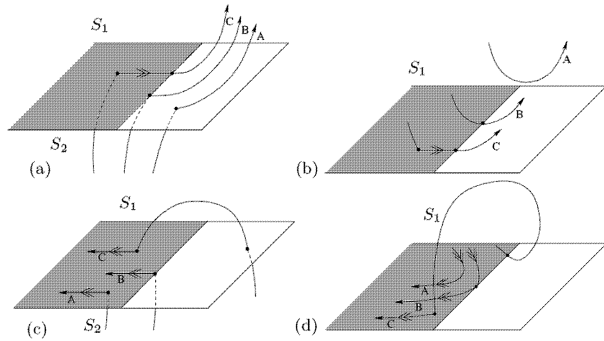


图 1 四种滑动分岔:(a) 穿越滑动分岔;(b) 擦边滑动分岔;
(c) 切换滑动分岔;(d) 多滑动分岔
Fig. 1 Four sliding bifurcations: (a) crossing-sliding;
(b) grazing-sliding; (c) switching-sliding; (d) multi-sliding

2 干摩擦 Duffing 振子与两种 Poincaré 映射

对于一个周期激励的 Duffing 系统

$$\ddot{y} + 2\xi\dot{y} - y + y^3 + f_r = p\cos\omega t \quad (6)$$

由于增加了一个速度恒定为 v_{dr} 的皮带驱动,从而引入了摩擦系数为 μ (假设静摩擦系数和动摩擦系数相同)的干摩擦力

$$f_r = \begin{cases} -\mu & v > 0 \\ f_{ex} & v = 0, |f_{ex}| < \mu \\ \mu \text{sign}(f_{ex}) & v = 0, |f_{ex}| \geq \mu \\ \mu & v < 0 \end{cases} \quad (7)$$

其中 $f_{ex} = p\cos\omega t - 2\xi\dot{y} + y - y^3$, $v = \dot{y} - v_{dr}$ 可见粘滞状态的摩擦力是随系统状态而变化的一组数值.

令 $x_1 = y, x_2 = \dot{y}$, 基于定相位面 $\Phi_T: = \{ \text{mod}(\omega t, 2\pi) = \text{mod}(t, T) = 0 \}$ 可定义映射

$$PT: \Phi_T \rightarrow \Phi_T \quad (8)$$

基于边界 $\Sigma: = \{ x_2 - v_{dr} = 0 \}$ 可定义映射

$$PS: \Sigma \rightarrow \Sigma \quad (9)$$

对于这两种 Poincaré 映射,PT 映射用以描述系统轨线的周期性,PS 映射则用以描述系统轨线与边界的关系.当出现粘滞的周期 1 轨时,PT 映射是 1 个点,PS 映射则是连续点.

文献[5]中研究了具有干摩擦的线性振子,没

有考虑出现混沌的情况,因此只用边界 Poincaré 映射进行了分岔研究.而本文通过定义这两种 Poincaré 映射,既可以研究 Duffing 系统无摩擦时可能出现的混沌;又可以研究有摩擦时可能出现的粘滞 - 滑移轨线.

3 系统参数对滑动分岔的影响

在此主要研究摩擦力对于系统行为的影响,因此系统参数给定 $\xi = 0.075, p = 0.258, \omega = 1$, 该参数下无摩擦的 Duffing 系统会出现混沌.

3.1 摩擦系数对滑动分岔的影响

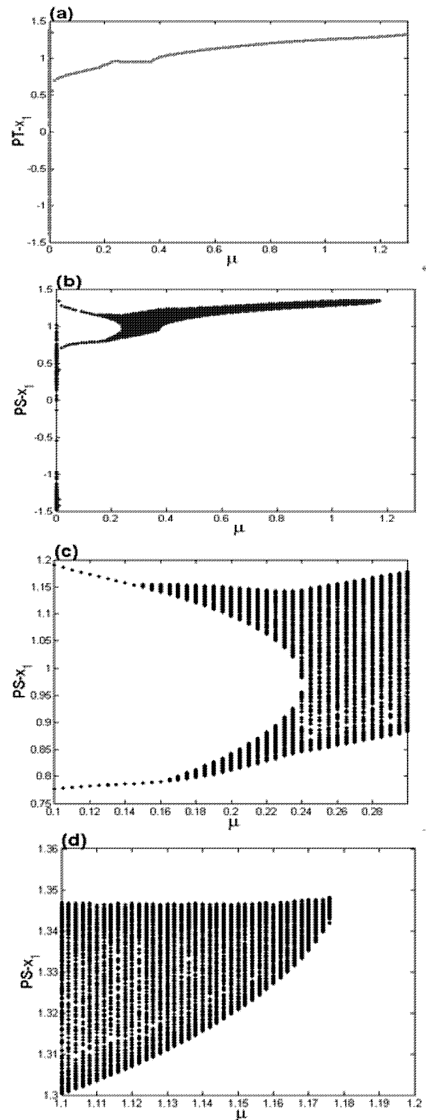


图 2 关于摩擦系数 μ 分岔图:(a) PT 映射;
(b) PS 映射;
(c) (d) PS 映射在 $\mu = 0.1 \sim 0.3$ 和 $1.1 \sim 1.2$ 间放大
Fig. 2 Bifurcation diagrams of friction coefficient μ : (a) PT map;
(b) PS map; (c) (d) amplifying of PS map in
 $\mu = 0.1 \sim 0.3$ and $\mu = 1.1 \sim 1.2$

固定驱动速度 $v_{dr} = 0.1$, 然后让摩擦系数 μ 在 $0 \sim 1.3$ 之间变化. 取固定初始值为 $(x_1, x_2) = (0, 0)$, 得到如图 2 所示分岔图. 如图 2(a) 所示, 从 PT 映射分岔图上来看, 当摩擦系数 μ 接近于 0 时, 系统保持为混沌运动; 随着摩擦系数 μ 增大, 突然转换为周期轨线. 如图 2(b) 所示, 从 PS 映射分岔图上来看, 周期穿越轨线经历了不同形式的粘滞, 最后转换为非穿越轨线. 为了详细分析从穿越轨线到非穿越轨线间的转换过程, 将 PS 映射分岔图进行局部放大, 如图 2(c) 表示从穿越轨线到粘滞 - 滑移轨线间的转换过程, 图 2(d) 表示从粘滞 - 滑移轨线到非穿越轨线间的转换.

对应的各种运动形式如图 3 所示, (a) 表示无摩擦时的混沌运动; 随着摩擦系数的增大, 从 (b) 所示穿越轨线转换到 (c) 所示两段粘滞 - 滑移轨线, 经历了相邻的两次穿越滑动分岔; 接着转换到 (d) 所示粘滞 - 滑移轨线, 经历了一次多滑动分岔; 然后经 (e) 所示擦边滑动分岔, 最终转换为 (f) 所示非穿越轨线.

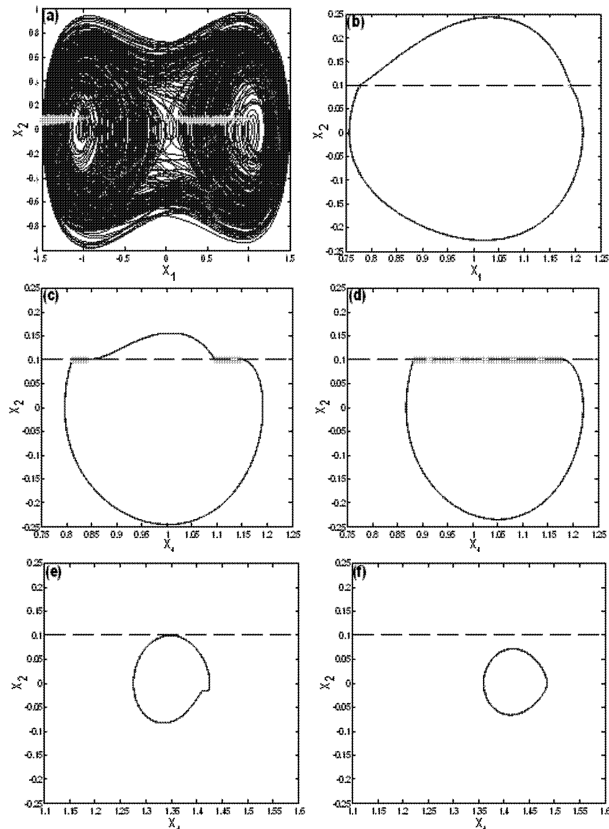


图 3 不同摩擦系数对应的轨线转换: (a) (b) (c) (d) (e) (f) $\mu = 0, 0.1, 0.2, 0.3, 1.18, 1.5$

Fig. 3 Orbits transitions in different friction coefficient:

(a) (b) (c) (d) (e) (f) $\mu = 0, 0.1, 0.2, 0.3, 1.18, 1.5$

3.2 驱动速度对滑动分岔的影响

固定摩擦系数 $\mu = 0.1$, 然后让驱动速度 v_{dr} 在 $-0.3 \sim 0.3$ 之间变化. 一开始取初始值为 $(x_1, x_2) = (0, 0)$, 然后每次计算时取上一个参数的稳态值为下一次计算初始值, 得到如图 4 所示分岔图. 蓝色表示参数逐渐增加的分岔图, 红色表示参数逐渐减小的分岔图, 可以看出明显的共存现象. 仅从图 4(b) 所示 PS 映射来看, 有四处都出现了连续映射点, 但配合图 4(a) 所示 PT 映射来看, 两处为粘滞轨线, 另外两处对应混沌轨线, 因此如果只用一种映射就无法正确反映系统行为的变化过程.

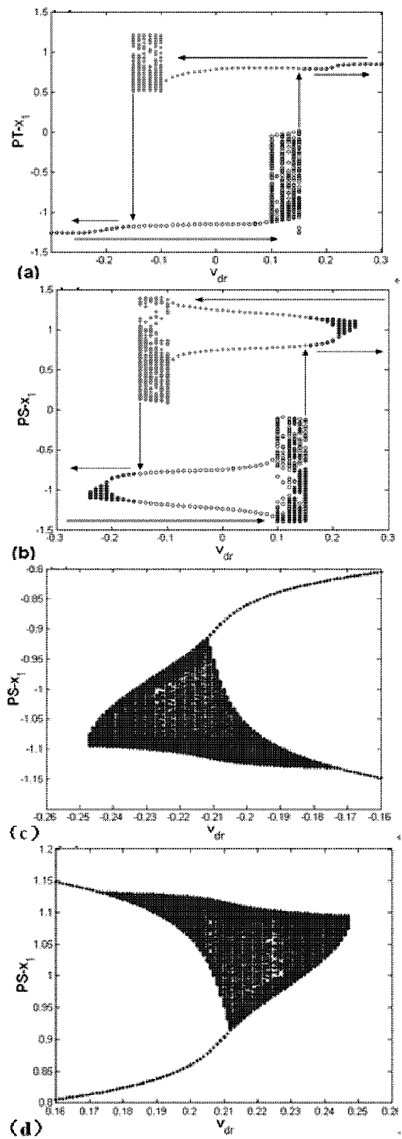


图 4 驱动速度 v_{dr} 分岔图: (a) PT 映射; (b) PS 映射;

(c) (d) PS 映射在 $v_{dr} = -0.16 \sim -0.26$ 和 $0.16 \sim 0.26$ 间放大

Fig. 4 Bifurcation diagrams of forced velocity v_{dr} : (a) PT map;

(b) PS map; (c) (d) amplifying of PS map in

$v_{dr} = -0.16 \sim -0.26$ and $v_{dr} = 0.16 \sim 0.26$

从图 4(a) 所示的 PT 映射来看,经历了共存区之后,混沌穿越轨线突然转变为以对称平衡点为中心的周期穿越轨线,然后一直保持周期不变,混沌运动和周期运动之间的转换是一种突然的跳跃.但从图 4(b) 所示的 PS 映射来看,穿越轨线最终要转换为非穿越轨线.将这部分细化分析,如图 4(c) 表示以 $(-1, 0)$ 为中心的穿越轨线,经历了粘滞-滑移轨线后变成了非穿越轨线;如图 4(d) 则表示以 $(1, 0)$ 为中心的穿越轨线,经历了粘滞-滑移轨线后变成了非穿越轨线.由于二者完全对称,因此仅对后者分析具体的轨线转换.

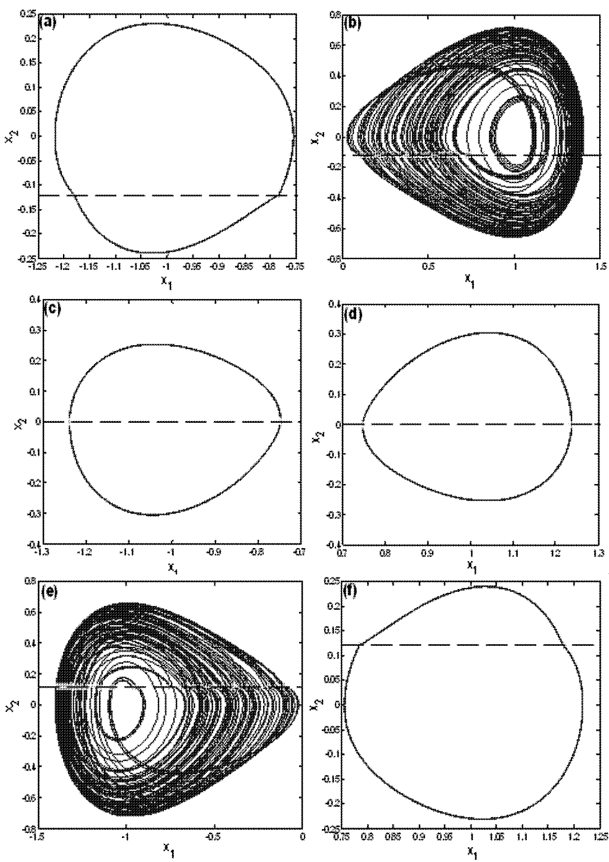


图 5 混沌和周期轨的共存及转换:初值 $(-1, 0)$ (a)(c)(e) $v_{dr} = -0.12 \rightarrow 0 \rightarrow 0.12$; 初值 $(1, 0)$ (b)(d)(f) $v_{dr} = -0.12 \rightarrow 0 \rightarrow 0.12$

Fig. 5 Coexistence and transition of chaos and periodic orbits:
(a)(c)(e) $v_{dr} = -0.12 \rightarrow 0 \rightarrow 0.12$ for initial value $(-1, 0)$;
(b)(d)(f) $v_{dr} = -0.12 \rightarrow 0 \rightarrow 0.12$ for initial value $(1, 0)$

从 PT 映射和 PS 映射都可以看出两种运动的共存区,在 $v_{dr} = -0.15 \sim -0.1$ 之间以 $(-1, 0)$ 为中心的周期穿越轨线,和以 $(1, 0)$ 为中心的混沌穿越轨线共存,如图 5(a)(b) 所示;在 $v_{dr} = -0.1 \sim 0.1$ 之间分别以 $(-1, 0)$ 和 $(1, 0)$ 为中心的周期穿越轨线共存,如图 5(c)(d) 所示;在 $v_{dr} = 0.1 \sim$

0.15 之间则以 $(-1, 0)$ 为中心的混沌穿越轨线,和以 $(1, 0)$ 为中心的周期穿越轨线共存,如图 5(e)(f) 所示.

图 6 表示图 4(d) 所示分岔图的轨线转换,而图 4(c) 所示分岔图是一个完全对称的转换的过程,在此不再赘述.如图 6 所示,从 (a) 所示以 $(1, 0)$ 为中心穿越轨线转换到 (b) 所示一侧粘滞-滑移轨线,在右侧粘滞区域的边界点必然要经历一个穿越滑动分岔;接着转换到 (c) 所示粘滞-滑移轨线,则在左侧粘滞区域的边界点必然经历一个切换滑动分岔;然后必然要经历 (d) 所示的擦边滑动分岔,然后转换为近似以 $(1.1, 0)$ 为中心的非穿越轨线.由于皮带驱动速度 v_{dr} 的改变相当于改变了边界,即使轨线不变,轨线与边界之间的关系也会改变,如 $v_{dr} = 0.25$ 对应的是擦边轨线, $v_{dr} > 0.25$ 之后对应的就是非穿越轨线.在达到非穿越轨线以后,无论驱动速度 v_{dr} 如何变化,该轨线保持不变.

从物理意义来说,具有恒定速度 v_{dr} 的皮带驱动是依靠摩擦力来实现的,当速度较小时会出现粘滞和滑移运动之间的转换,皮带驱动速度会影响系统轨线;当速度较大时完全保持滑移运动,不会出现粘滞现象,皮带驱动速度对于运动轨线则没有影响,此时摩擦力是一个常数,仅改变原系统的平衡点.如图 6(d) 和图 5(d) 所示轨线形状基本一致,但轨线中心向右移动了一定距离.

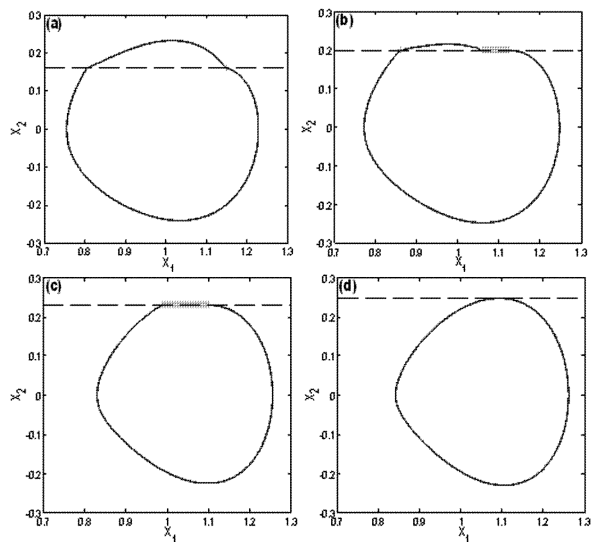


图 6 不同驱动速度对应的轨线转换:

(a)(b)(c)(d) $v_{dr} = 0.16, 0.2, 0.23, 0.25$

Fig. 6 Orbits transitions in different forced velocity:

(a)(b)(c)(d) $v_{dr} = 0.16, 0.2, 0.23, 0.25$

4 结论

本文介绍了 Filippov 系统发生粘滞现象的数学描述,并介绍了 di Bernardo 定义的四种滑动分岔,用以研究粘滞-滑动轨线与其它轨线之间的转换.

本文引入了基于定相位面的 PT 映射和基于边界的 PS 映射两种 Poincaré 映射,PT 映射用以描述系统轨线的周期性,PS 映射则用以描述系统轨线与边界的关系.当出现粘滞的周期 1 轨时,PT 映射是 1 个点,PS 映射则是连续点.而针对一个具有干摩擦的 Duffing 振子,应用这两种 Poincaré 映射,既反映 Duffing 振子无摩擦时可能出现的混沌轨线;又反映有摩擦时可能出现的粘滞-滑动轨线,可全面反映系统行为的变化过程.

通过固定其他系统参数,重点研究了驱动速度及摩擦系数对滑动分岔的影响,讨论了系统在混沌和周期、及不同周期轨之间的转换与共存.分析发现,从穿越轨线转换到粘滞-滑动轨线不仅可经穿越滑动分岔和切换滑动分岔实现,也可经两个相邻的穿越滑动分岔和多滑动分岔实现,而从粘滞-滑动轨线转换到非穿越轨线须经擦边滑动分岔.

参 考 文 献

- 1 Filippov A F. Differential equations with discontinuous right-hand sides. Dordrecht: Kluwer Academic Publishers, 1988
- 2 di Bernardo M, Kowalczyk P, Nordmark A. Bifurcations of dynamical systems with sliding: Derivation of normal-form mappings. *Physica D*, 2002, 170: 175 ~ 205
- 3 Galvanetto U. Sliding bifurcations in the dynamics of mechanical systems with dry friction-remarks for engineers and applied scientists. *Journal of Sound and Vibration*, 2004, 276: 121 ~ 139
- 4 Mario di Bernardo, Chris Budd, Alan Richard Champneys, Piotr Kowalczyk. Piecewise-smooth dynamical systems: theory and applications. Springer, 2007
- 5 李志从,王琪. 受两个频率激励和皮带驱动的具有干摩擦的振子的动力学分析. *动力学与控制学报*, 2008, 6 (1): 45 ~ 49 (Li Zhicong, Wang Qi. Dynamical analysis of a dry friction oscillator with two-frequency excitation and belt driving. *Journal of Dynamics and Control*, 2008, 6 (1): 45 ~ 49 (in Chinese))

SLIDING BIFURCATIONS IN A DRY-FRICTION DUFFING VIBRATOR *

Qin Zhiying Zhao Yuejing Peng Wei

(School of Mechanical and Electrical Engineering, Hebei University of Science and Technology, Shijiazhuang 050018, China)

Abstract This paper studied a dry-friction Duffing vibrator, and discussed the transitions and coexistences between chaos and periodic orbits, as well as different periodic orbits for different system parameters. As a Filippov system, special sticking phenomena may occur. The transition from crossing orbit to stick-slip orbit can be achieved not only by crossing-sliding bifurcation and switching-sliding bifurcation, but also by two near crossing-sliding bifurcation and multi-sliding bifurcation. The transition from stick-slip orbit to non-crossing orbit must be achieved by grazing-sliding bifurcation.

Key words dry-friction, Filippov system, stick-slip orbits, sliding bifurcations